

05.2

(C) 1991

ЭФФЕКТИВНОСТЬ ВВЕДЕНИЯ РАДИАЦИОННЫХ
ДЕФЕКТОВ В КРЕМНИЙ В ДИАПАЗОНЕ
ТЕМПЕРАТУР 40–200 К

И.В. Жалко – Титаренко,
А.Н. Крайчинский, Н.И. Осташко,
И.С. Рогуцкий

Температурная зависимость эффективности введения дефектов (ЭВД) в кремни при электронном облучении многократно исследована в диапазоне 77–300 К. Например, в [1, 2] было установлено, что в $n\text{-Si}$ ЭВД увеличивается с ростом температуры T в диапазоне 100–300 К и может быть описана экспоненциальной функцией T^{-1} . Кроме того, было замечено [2, 3], что при $T \leq 100$ –130 К темп уменьшения ЭВД с понижением T замедляется. Ход ЭВД при понижении температуры от 77 до 4.2 К неизвестен, хотя было установлено [4], что при 20.4 К ЭВД в $n\text{-Si}$ намного меньше, чем в $p\text{-Si}$. А при 100 К в $p\text{-Si}$ ЭВД уменьшена по сравнению с облучением при 20.4 К. Задачей настоящей работы было получение данных о температурной зависимости ЭВД в кремни в диапазоне низких температур.

Облучение проводилось на линейном ускорителе электронов с энергией 1 мэВ, длительностью импульсов 2.5 мкс, частотой повторения 400 Гц. Доза облучения выбиралась такой, чтобы концентрация равновесных носителей изменялась не более, чем на 30 %. Использованы образцы кремния, выращенного по методу Чохральского, – электронный, с концентрацией фосфора $1.1 \times 10^{14} \text{ см}^{-3}$ и дырочный, с концентрацией бора $1.2 \cdot 10^{15} \text{ см}^{-3}$. Измерялись напряжение Холла и проводимость образцов до и после облучения и после отжига при комнатной температуре.

На рис. 1 приведена температурная зависимость ЭВД, измеренная из изменений концентрации равновесных носителей при 100 К (для $n\text{-Si}$) и 150 К (для $p\text{-Si}$) после облучения образцов и последующего отжига при комнатной температуре для трех типов экспериментов: 1 – образцы $n\text{-Si}$, амплитуда электронного импульса $J_e = 2 \cdot 10^{14} \text{ см}^{-2} \text{ с}^{-1}$; 2 – $n\text{-Si}$, $J_e = 2 \cdot 10^{15} \text{ см}^{-2} \text{ с}^{-1}$; 3 – $p\text{-Si}$, $J_e = 2 \cdot 10^{15} \text{ см}^{-2} \text{ с}^{-1}$.

Из рисунка видно, что в обоих типах образцов ЭВД является немонотонной функцией температуры. При этом можно выделить три температурных диапазона: 40–60 К – с ростом T ЭВД растет в $n\text{-Si}$ и падает в $p\text{-Si}$; 60–120 К – ЭВД падает в обоих типах образцов; 120–200 К – ЭВД растет. Сравнение кривых 1 и 2 рис. 1 показывает, что ЭВД в $n\text{-Si}$ в диапазоне 45–110 К растет с увеличением J_e .

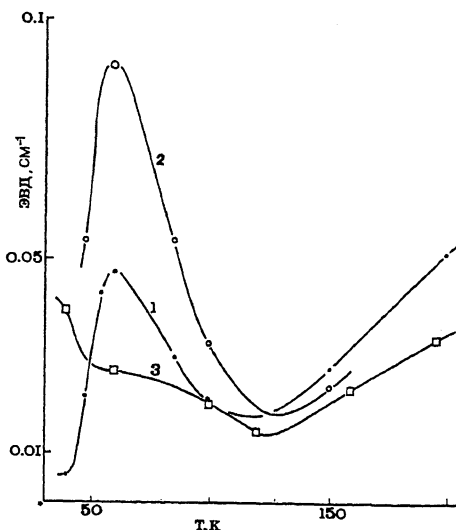


Рис. 1. Зависимость ЭВД от температуры образцов при облучении:
1, 2 - -Si ; 3 - p-Si ; 1 - $J_e = 2 \cdot 10^{14} \text{ эл}/\text{см}^2 \cdot \text{с}$; 2, 3 -
 $J_e = 2 \cdot 10^{15} \text{ эл}/\text{см}^2 \cdot \text{с}$.

В настоящий момент можно высказать следующие суждения о причинах такого хода температурной зависимости ЭВД. При используемых J_e за один электронный импульс вводится $\sim 10^9 - 10^{10}$ пар Френкеля ($\text{ПФ}/\text{см}^3$). Эта величина намного меньше концентраций легирующих примесей. Поэтому взаимодействием ПФ между собой можно пренебречь. В то же время за один импульс генерируется $5 \cdot (10^{14} - 10^{15}) \text{ см}^{-3}$ неравновесных носителей, что существенно больше концентрации легирующей примеси (тем более) концентрации равновесных носителей. Поэтому изменение J_e сильно меняет соотношение неравновесных n_i и равновесных носителей n_0 . Следовательно, рост ЭВД в -Si с ростом J_e может быть свидетельством того, что ЭВД определяется уровнем ионизации электронной подсистемы кристалла. При этом, по-видимому, основное влияние на величину ЭВД оказывает изменение зарядовых состояний ПФ или их компонентов, т.к. для проявления примесно-ионизационного механизма [5] уровень ионизации кажется недостаточным.

Рассмотрим ПФ как изолированный дефект по отношению к захвату носителей заряда.¹ Тогда в стационарных (по электронному

¹ Этот подход можно использовать без оговорок для близких ПФ, т.е. таких, у которых расстояние между вакансией V и межузельным атомом $r_{Vx} \ll r_s$, - расстояние, характеризующее захват носителя дефектом [6].

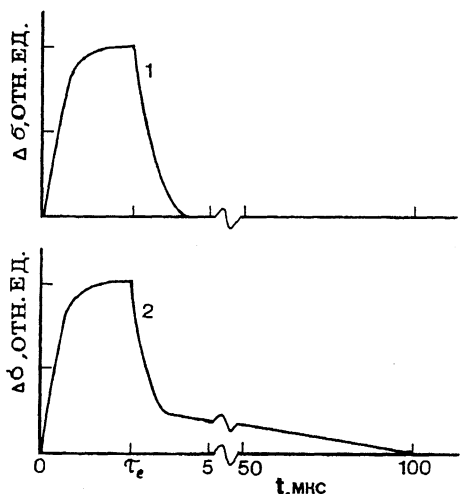


Рис. 2. Зависимость неравновесной проводимости $\Delta\sigma$ от времени t при воздействии импульса электронов $J_e = 2 \times 10^{14}$ эл/ $\text{см}^2 \cdot \text{с}$ при T : 1 - 40 К, 2 - 60 К.

возбуждению) условиях имеем

$$\frac{(\Pi\Phi)^-}{(\Pi\Phi)^0} = \frac{\sigma_n^0 v_n (n_0 + \Delta n)}{\sigma_p^- v_p \Delta p}, \quad \frac{(\Pi\Phi)^+}{(\Pi\Phi)^0} = \frac{\sigma_p^+ v_p \Delta p}{\sigma_n^+ v_n (n_0 + \Delta n)}, \quad (1)$$

где $(\Pi\Phi)^-$, $(\Pi\Phi)^0$, $(\Pi\Phi)^+$ - концентрации ПФ в соответствующих зарядовых состояниях, σ_n^0 , σ_p^0 , σ_p^- , σ_n^+ - соответствующие сечения захвата носителей, v_n , v_p - тепловые скорости носителей. Из (1) видно, что с изменением T меняется соотношение ПФ в различных зарядовых состояниях как из-за температурной зависимости n_0 , так и из-за температурных зависимостей сечений захвата носителей.

В диапазоне 40–60 К имеет место прилипание основных носителей заряда на электронные уровни легирующих примесей [7]. Это иллюстрируется рис. 2, на котором приведена величина неравновесной проводимости $\Delta\sigma$ образцов п- Si в процессе и после окончания импульса дефектообразующих электронов для двух температур – 40 и 60 К. Видно, что при $T = 40$ К (рис. 2, кривая 1) спад $\Delta\sigma$ происходит за время ~ 1.5 мкс, в то время как при 60 К (рис. 2, кривая 2) после процесса быстрой релаксации наблюдается длинновременная затяжка ($\Delta t_{\text{прил}} \lesssim 100$ мкс) уменьшения $\Delta\sigma$. В течение интервала $\Delta t_{\text{прил}}$ в п- Si будет увеличено число ПФ в зарядовом состоянии $(\Pi\Phi)^+$ и уменьшено число $(\Pi\Phi)^-$, а в р- Si соответственно увеличится $(\Pi\Phi)^-$ и уменьшится $(\Pi\Phi)^+$. Согласно рис. 1, в этом температурном диапазоне ЭВД в п- Si увеличивается с ростом T , а в р- Si уменьшается.

Так как ЭВД в нашем эксперименте определяется стабильным при температуре отжига радиационными дефектами, образованными в результате взаимодействия V или I с атомами примесей, то можно сделать вывод о том, что ПФ в состоянии $(\text{ПФ})^+$ имеют склонность к разделению на невзаимодействующие друг с другом V и I .

В диапазоне 60–120 К с ростом Т ЭВД падает и в п- и в p-Si. Поэтому можно предположить, что характер изменения ЭВД при увеличении Т не зависит от типа проводимости кристалла, а определяется свойствами самих ПФ или их компонентов. При этом необходимо отметить, что процессы аннигиляции и разделения ПФ, определяющие температурную зависимость ЭВД, скорее всего, происходят за время, не большее времени существования неравновесной проводимости или неравновесных зарядовых состояний ПФ. Последнее предположение следует из того, что в этом температурном диапазоне ЭВД зависит от J_ϱ , т.е. от уровня ионизации электронной подсистемы кристалла.

При $T > 120$ К ЭВД и в п- и в p-Si растет с увеличением Т. В [2] было показано, что в рассматриваемом интервале Т рост ЭВД может быть связан с уменьшением радиуса аннигиляции противоположно заряженных компонентов ПФ.

Таким образом, наблюдаемая немонотонность хода ЭВД в кремнии от Т может быть связана с температурной зависимостью процессов аннигиляции или распада ПФ, для объяснения которых следует привлечь неравновесные зарядовые состояния ПФ или их компонентов, определяемые уровнем ионизации кристалла при облучении.

Список литературы

- [1] Вавилов В.С., Глазман В.Б., Исаев Н.У., Мукашев Б.Н., Спицын А.В. // ФТП. 1974. Т. 8. В. 3. С. 471–475.
- [2] Крайчинский А.Н., Осташко Н.И., Рогуцкий И.С. // ФТП. 1990. Т. 16. В. 8. С. 1487–1490.
- [3] Stein H.J., Vook F.L. // Phys. Rev. 1967. V. 163. N 3. P. 790–800.
- [4] Watkins G.D. In: Radiation Effects in Semiconductors, N.Y. : Plenum Press. 1968. P. 67–81.
- [5] Емцев В.В., Клингер Н.И., Машовец Т.В., Назарян Е.Х., Рыбкин С.М. // ФТП. 1979. Т. 13. В. 5. С. 933–937.
- [6] Абакумов В.Н., Перель В.И., Яссевич И.Н. // ФТП. 1978. Т. 12. В. 1. С. 3–31.
- [7] Рыбкин С.М. Фотоэлектрические явления в полупроводниках. М.: Физматгиз, 1963. 496 с.